

SID



سرویس های ویژه



سرویس ترجمه تخصصی



کارگاه های آموزشی



بلاگ مرکز اطلاعات علمی



سامانه ویراستاری STES



فیلم های آموزشی

کارگاه های آموزشی مرکز اطلاعات علمی



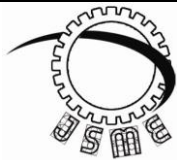
مقاله نویسی علوم انسانی



اصول تنظیم قراردادها



آموزش مهارت های کاربردی در تدوین و چاپ مقاله



آنالیز خمش نانولوله‌های دارای انحنای اولیه‌ی تعبیه شده بر روی بستر الاستیک بر مبنای تئوری الاستیسیته غیرمحلی و روش گالرکین

اعظم عارفی^{۱*}، محمود سلیمی^۲

*salimi@cc.iut.ac.ir

واژه‌های کلیدی

تحلیل خمش، نانولوله‌ی کربنی با انحنای اولیه، تئوری الاستیسیته‌ی غیرمحلی، روش نیوتن رفسون، روش گالرکین.

چکیده

نانولوله‌های کربنی در تقویت کامپوزیت‌ها نقش بسزایی ایفا می‌کنند. بدیهی است که برخی از نانولوله‌ها در هنگام کاربرد، شکل منظم ابتدایی خود را حفظ نمی‌کنند و دچار اعوجاج می‌شوند. این اعوجاج می‌تواند در حین فرآیند ساخت یا بعد از آن در نتیجه‌ی تأثیر ماتریس رخ دهد. بر این اساس، مدل‌سازی این نوع نانو ساختار به صورت پوسته یا تیر بدون انحنای می‌تواند خطایی قابل ملاحظه را با نتایج همراه کند. در این مقاله، خمش نانولوله‌های دارای انحنای اولیه مورد مطالعه قرار می‌گیرد. معادلات تعادل بر پایه تئوری الاستیسیته غیر محلی به کمک اصل کمینه‌سازی انرژی پتانسیل کل، استخراج و از روش گالرکین برای حل آنها بهره گرفته می‌شود. از مدل وینکلر برای مدل‌سازی بستر الاستیک استفاده می‌شود. حل خیز حاصل از دستگاه معادلات غیرخطی به کمک روش عددی نیوتن رفسون صورت می‌گیرد و در نهایت تأثیر مقیاس کوچک، انحنای اولیه و مدول فونداسیون بر روی خیز نانولوله‌ها مورد بررسی قرار خواهد گرفت.

۱- دانشجوی، دانشکده مکانیک، دانشگاه صنعتی اصفهان

۲- استاد، دانشکده مکانیک، دانشگاه صنعتی اصفهان

۱- مقدمه

با کشف نانولوله‌های کربنی در سال ۱۹۹۱ توسط ایچیمایا [۱]، انقلاب عظیمی در زمینه نانو فناوری رقم خورد و این به دلیل خواص فوق‌العاده‌ی مکانیکی، حرارتی، الکتریکی و مغناطیسی آنها بوده است. از نظر خواص مکانیکی سخت‌ترین مواد شناخته شده هستند تا جایی که استحکام آنها تا صد برابر فولاد می‌باشد؛ در حالی که تنها یک ششم وزن نمونه فولادی را دارا هستند. از نظر خواص حرارتی، تا 2800°C (در خلأ) پایدار هستند و قابلیت هدایت گرمایی آنها تا دو برابر الماس می‌باشد [۲].

طراحی مؤثر نانو سیستم‌ها، وابسته به فهم دقیق خصوصیات پاسخ نانوسازه‌هایی است که در ساخت آنها بکار می‌روند. با توجه به پتانسیل بالای این سازه‌ها در ساخت ابزار و وسایل در مقیاس نانو، تعیین خصوصیات مکانیکی و الکتریکی آنها برای مطالعه‌ی واکنش آنها با محیط مجاور از اهمیت ویژه‌ای برخوردار است. برای تحلیل دقیق نانوسازه‌ها، در نظر گرفتن اثر اندازه‌ی کوچک^۱ و نیروهای بین اتمی ضروری است و چشم‌پوشی از این موارد ممکن است به نتایجی با خطای قابل ملاحظه منجر شود.

روش‌های مختلفی برای تعیین خصوصیات مکانیکی و رفتار نانوسازه‌ها وجود دارد. یکی از این روش‌ها بر پایه‌ی اصول مکانیک کوانتوم است. این روش اگر چه نتایج بسیار دقیقی ارائه می‌دهد، اما به دلیل محاسبات پیچیده و محدود شدن به برخی از سیستم‌ها کارایی وسیعی ندارد. در روش‌های تجربی برای اعمال بارهای مکانیکی بر روی نانوسازه بررسی پاسخ آن، از میکروسکوپ‌های نیروی اتمی استفاده می‌شود. با وجود این که نتایج حاصل از آزمایش برای بررسی صحت نتایج مدل‌های ریاضی، مفید هستند، از یک سو دسترسی به این وسایل و از سوی دیگر کنترل آزمایش در مقیاس نانو مشکل است. محدودیت‌های این روش‌ها باعث شد تا محققان به جستجوی روش‌های محاسباتی و ریاضی در این زمینه بپردازند. ابتدا از مدل‌های مولکولی برای این منظور استفاده گردید که با وجود انطباق نتایج

حاصل از این روش با مشاهدات آزمایشگاهی، حجم زیاد محاسبات باعث شد که استفاده از مدل‌های مولکولی تنها برای آنالیز نانوسازه‌های کوچک (با تعداد مولکول کم) مورد توجه قرار گیرد. بنابراین، مدل کردن نانوسازه‌ها در ابعاد بزرگ با استفاده از روش‌های دیگر از جمله تئوری‌های مکانیک محیط‌های پیوسته مورد توجه قرار گرفت. مدل‌های محیط پیوسته کلاسیک، مقیاس آزاد هستند و نمی‌توانند آثار کوانتومی را به حساب آورند؛ بنابراین، تئوری‌های اصلاح شده مختلفی از مکانیک محیط‌های پیوسته گزارش شده‌اند که اثر مقیاس کوچک را مورد بررسی قرار می‌دهند؛ از آن جمله می‌توان تئوری الاستیسیته کوپل تنش^۲ [۳] تئوری گرادیان کرنش^۳ [۴]، تئوری کوپل تنش اصلاح شده^۴ [۵] و تئوری الاستیسیته غیرمحملی ارینگن^۵ [۶] را نام برد.

تئوری الاستیسیته غیرمحملی ارینگن از جمله روش‌هایی است که علاوه بر اجتناب از حل معادلات پیچیده، توانایی پیش‌بینی رفتار نانوسازه‌ها در ابعاد بزرگ را نیز دارد. در این تئوری که در سال ۱۹۷۲ با مقاله‌های ارینگن پایه‌ریزی شد، با این فرض که تنش در یک نقطه، تابعی از کرنش در کلیه نقاط ناحیه مورد نظر است، گستره‌ی وسیعی از نیروهای بین اتمی و مولکولی و ابعاد طول داخلی (فاصله بین اتم‌ها در شبکه‌ی بلورین) در روابط ساختاری وارد شده است. همانطور که اشاره شد، تئوری غیرمحملی ارینگن از جمله روش‌هایی است که اخیراً توجه بسیاری از محققان را به خود جلب کرده است. این تئوری در حل مسائلی نظیر انتشار موج در محیط پیوسته، تحلیل ترک و مکانیک شکست بکار گرفته شده و نتایج حاصل از آن با مشاهدات تجربی هم‌خوانی دارد [۷].

در سال ۲۰۰۳ پدیسون^۶ [۸] برای اولین بار از تئوری الاستیسیته‌ی غیرمحملی به منظور مطالعه‌ی آثار اندازه در سازه‌های با ابعاد کوچک بهره گرفت. وی خمش میکرو/نانوتیرها را با مفهوم الاستیسیته‌ی غیرمحملی بررسی

2-Couple stress elasticity theory

3- Strain gradient theory

4- Modified couple stress theory

5- Eringen's nonlocal elasticity theory

6- Peddison

1-Small scale effect

همکارش [۱۵] در سال ۲۰۰۹ با استفاده از روش مربع‌سازی دیفرانسیلی و فرضیات تیر تیموشنکو به حل پایداری نانولوله‌های کربنی تک‌لایه در محیط الاستیک دست یافت. وی تأثیر پارامتر غیرمحملی، مدول فونداسیون و ابعاد نانولوله‌های تک‌جداره را بر روی بار کمانش مطالعه نمود. خادم‌الحسینی [۱۶] در سال ۲۰۰۹ کمانش پیچشی نانولوله‌ها را مورد بررسی قرار داده و نتایج حاصل از این تئوری را با شبیه‌سازی‌های دینامیک مولکولی و روش‌های کلاسیک مقایسه کرد. بررسی‌های وی نشان داد که اختلاف بار کمانش محاسبه شده در تئوری‌های مختلف نظیر کلاسیک و غیرمحملی، در نانو‌سازه‌های با ابعاد کوچک چشمگیر است (حدود ۴۰٪). با افزایش قطر نانولوله، به تدریج این اختلاف کاهش یافته و مقادیر کلاسیک به مقادیر پیش‌بینی شده با تئوری غیرمحملی همگرا می‌شوند.

در سال ۲۰۱۰ سنتیلکومار^{۱۳} [۱۷] بار کمانش نانولوله‌های تک‌لایه را با استفاده از روش تبدیلات دیفرانسیلی برای چهار نوع شرط مرزی به دست آورد و برای بررسی صحت نتایج، نتایج این روش را با حل دقیق مقایسه کرد. ونگ^{۱۴} و همکارانش [۱۸] در سال ۲۰۱۰ با بهره‌گیری از مدل غیرمحملی ارینگن، تأثیر مقیاس کوچک را بر روی کمانش حرارتی نانولوله‌ها با در نظر گرفتن مدل تیموشنکو و با احتساب تأثیر تغییر شکل‌های برشی و اینرسی دورانی مطالعه کردند. آنها دریافته‌اند که در مودهای بالاتر و به ازای نسبت‌های کوچک‌تر طول به قطر، برای پیش‌بینی دقیق بار کمانش باید آثار برش و اینرسی دورانی را مدنظر قرار داد. سیولک^{۱۵} به کمک دمیر^{۱۶} [۱۹] در سال ۲۰۱۱ کمانش و خیز نانولوله‌های تک‌لایه را با استفاده از تئوری ارینگن محاسبه کرده و با مقایسه‌ی نتایج غیرمحملی با اعداد به دست آمده از تئوری کلاسیک، متوجه شدند که با کاهش ابعاد سازه برای پیش‌بینی دقیق بار کمانش و نیز خیز آن، باید تأثیر نیروهای بین‌اتمی و مولکولی را در نظر گرفت. ونگ^{۱۷} و دوان^{۱۸} [۲۰]

نمود و مشاهده کرد که آثار اندازه در مقیاس‌های کوچک مهم می‌باشد و بزرگی آثار اندازه به بزرگی پارامترهای غیرمحملی^۱ وابسته است. سپس تعدادی از محققان برای مطالعه‌ی آثار اندازه بر روی رفتار مکانیکی نانو‌سازه‌ها از این تئوری استفاده کردند. پین لو^۲ و همکارانش [۹] در سال ۲۰۰۶ حل ارتعاش آزاد نانولوله‌ها را با استفاده از تئوری‌های تیر و با الگو گرفتن از فرم دیفرانسیلی تئوری غیرمحملی ارائه کردند. ردی^۳ [۱۰] در سال ۲۰۰۷ تئوری‌های مختلف تیر نظیر اوپلربرنولی، تیموشنکو، ردی و لوینسون^۴ را برای آنالیز استاتیکی، دینامیکی و پایداری نانو‌سازه‌ها بازنویسی کرد. در سال ۲۰۰۹ آیدوگدو^۵ [۱۱] بر مبنای تئوری الاستیسیته غیرمحملی، به تحلیل خمش، کمانش و ارتعاشات نانوتیرها پرداخت. لی^۶ و چنگ^۷ [۱۲] در سال ۲۰۱۰ فرکانس‌های طبیعی نانوتیری با سطح مقطع غیریکنواخت را با در نظر گرفتن شرط مرزی گیردار با بکار بردن روش ریلی‌ریتز^۸ ارائه کردند. سیمسک^۹ [۱۳] در سال ۲۰۱۱ با استفاده از روش گالرکین و در نظر گرفتن فرض‌های تیر تیموشنکو، ارتعاشات نانولوله‌های تعبیه شده در محیط الاستیک را تحت بار دینامیکی بررسی کرد. وی تأثیر پارامترهای مختلف نظیر ضریب مقیاس، مدول فونداسیون^{۱۰} و سرعت حرکت بار را بر روی پاسخ دینامیکی مطالعه نمود.

علاوه بر تحلیل‌های دینامیکی مختلفی که با الگو گرفتن از تئوری‌های متفاوت تیر و بر مبنای روش‌های تحلیلی و عددی صورت گرفته است، در زمینه‌ی بررسی پایداری نانو‌سازه‌ها نیز نتایج قابل توجهی منتشر شده است. زنگ^{۱۱} به همراه همکارانش [۱۴] در سال ۲۰۰۶ کمانش الاستیک نانولوله‌های کربنی چندلایه‌ی تحت فشار شعاعی را با بکارگیری مدل پوسته بررسی کردند. مورمو^{۱۲} و

1-Nonlocal parameter

2-Pin Lu

3-Reddy

4-Levinson

5-Aydogdu

6-Lee

7-Chang

8-Rayleigh Ritz

9-Simsek

10-Foundation modulus

11-Zhang Y.Q.

12-Murmu

13-Senthilkumar

14-Wang Yi-Ze

15-Civalek

16-Demir

17-Wang C.M.

18-Duan

۲- معادلات حاکم

شکل دیفرانسیلی معادله‌ی متشکله با فرض تئوری غیرمحلّی ارینگن [۲۶] برای مسائل یک بعدی به صورت زیر بیان می‌شود:

$$(1 - \mu \frac{\partial^2}{\partial x^2}) \sigma^{nl} = \sigma^l, \quad \mu = (e_0 a)^2 \quad (1)$$

در رابطه فوق μ پارامتر غیرمحلّی، σ^{nl} تانسور تنش غیرمحلّی و σ^l تانسور تنش کلاسیک یا محلّی می‌باشد. a طول مشخصه داخلی (طول پیوندهای کربن-کربن، اندازه دانه^۴ ...) است و برای تحلیل نانولوله‌های کربنی مقدار 0.142 نانومتر به آن اختصاص داده شده است [۲۷]. e_0 ضریب ثابتی است که مقدار آن برای هر ماده با روش‌های آزمایشگاهی تعیین می‌گردد. ارینگن عدد 0.39 را برای آن پیشنهاد کرد [۶]. مطالعات انجام شده نشان می‌دهند که انتخاب مناسب پارامتر e_0 برای انطباق کامل تئوری الاستیسته غیرمحلّی با نتایج تجربی دشوار است. ونگ^۵ [28] در سال ۲۰۰۵، حدود $e_0 a$ را بین ۰ تا ۲ نانومتر معرفی نمود. تحقیقات صورت گرفته بر روی نانوسازه‌ها و انتخاب پارامتر مقیاس در رنج ارائه شده توسط ونگ، نشان داد که انتخاب پارامتر غیرمحلّی در این رنج، نتایج قابل قبولی را در مقایسه با شبیه‌سازی‌های دینامیک مولکولی و نتایج تجربی ارائه می‌دهد. در تحقیق حاضر، از مقادیر $(e_0 a)^2 = \mu = 0, 1, 2, 3, 4 (nm)^2$ برای شبیه‌سازی اثر اندازه کوچک استفاده شده است [29].

با توجه به کاربرد گسترده نانولوله‌ها در تقویت کامپوزیت‌ها، تلاش بسیاری از پژوهشگران به بررسی چگونگی رفتار نانولوله‌های تعبیه شده در ماتریس‌های پلیمری معطوف شده است. ساده‌ترین مدلی که به کمک آن می‌توان تأثیر ماتریس را شبیه‌سازی نمود، مدل وینکلر است. در این مدل، از فنرهای الاستیک خطی برای شبیه‌سازی فونداسیون استفاده می‌شود. برای سازه‌ای با شکل هندسی و دستگاه مختصاتی مطابق شکل (۱)، روابط بین

در سال ۲۰۰۸ حل دقیقی را برای ارتعاش آزاد نانوحلقه‌ها^۱ با بهره‌گیری از تئوری الاستیسته غیرمحلّی بمنظور وارد کردن آثار مقیاس کوچک منتشر کردند. آنها همچنین تأثیر تغییر شرایط مرزی را بر روی فرکانس‌های طبیعی نانوحلقه‌ها بررسی نمودند. تپه^۲ [۲۱] در سال ۲۰۱۰ به بررسی رفتار نانولوله‌های خمیده تحت بارگذاری داخل صفحه‌ای پرداخت. وی تأثیر پارامتر غیرمحلّی را بر روی خیز، نیروی برشی و ممان خمشی این نانوسازه‌ها به کمک روش مقادیر اولیه^۳ مطالعه نمود. ونگ و دوان [۲۲] در سال ۲۰۰۷ حل دقیقی را برای خمش نانورق‌های مدور متقارن، با شرایط تکیه‌گاهی ساده و گیردار منتشر کردند. ردی و آقابابایی [۲۳] در سال ۲۰۰۹ فرمول‌بندی تئوری الاستیسته غیرمحلّی را برای منظور نمودن اثر تغییر شکل‌های برشی مرتبه سوم برای ارتعاش آزاد و تغییر شکل خمشی ورق بازنویسی کردند. شهیدی و بابایی [۲۴] در سال ۲۰۱۰ پایداری ورق‌های چهارضلعی را با روش گالرکین مطالعه کرده و تأثیر پارامتر غیرمحلّی و پارامترهای هندسی را بر روی بار کمناش بررسی نمودند.

انصاری [۲۵] در سال ۲۰۱۰ با روش اجزا محدود ارتعاش گرافین چند لایه در بستر ارتجاعی را برای ورق مستطیلی حل نمود.

با توجه به کمبود مطالعات انجام شده بر روی نانوسازه‌های غیر منظم، در این مقاله سعی بر آن است که رفتار مکانیکی این نوع نانوساختار مورد بررسی قرار گیرد. بدین منظور از مدل تیر کلاسیک به همراه تئوری الاستیسته استفاده می‌شود. در این مقاله، اعوجاج نانولوله‌ها به صورت انحنا اولیه مدل شده است. معادلات حاکم بر خمش نانولوله‌ها با در نظر گرفتن اثر بستر الاستیک و با استفاده از تئوری تیر اویلر برنولی، بر مبنای اصل کمینه‌سازی انرژی پتانسیل کل استخراج و سپس این معادلات با در نظر گرفتن شرایط مرزی ساده در دو انتهای سازه، به کمک روش گالرکین حل شده است.

4-Granular size
5-Wang Q

1-Nanoring
2-Tepe
3-Initial values method

بر روی عبارت‌های موجود معادلات تعادل به فرم زیر ظاهر می‌شوند

$$Nw_{,xx} - M_{,xx} + k_w(w - w_0) + q = 0 \quad (5)$$

با تعریف گشتاور منتهجه به صورت زیر

$$M = \int_A \sigma^{nl} z dA \quad (6)$$

و با استفاده از رابطه (۱)، خواهیم داشت

$$M - \mu \frac{\partial^2 M}{\partial x^2} = EI \kappa \quad (7)$$

که در آن E و I به ترتیب، مدول الاستیسیته و ممان اینرسی سطح مقطع نانولوله خمیده می‌باشند.

با جای‌گذاری مشتق دوم گشتاور خمشی از رابطه (۵) در رابطه (۷)، گشتاور غیرمحملی را می‌توان بر حسب میدان جابجایی به صورت زیر بدست آورد:

$$M = -EI(w_{,xx} - w_{0,xx}) + \mu[Nw_{,xx} + k_w(w - w_0) + q] = 0 \quad (8)$$

که در آن N نیروی اعمال شونده به نانولوله در راستای محور است که با رابطه‌ی زیر محاسبه می‌شود:

$$N = -\int \sigma dA \quad (9)$$

با قرار دادن رابطه (۸) در رابطه‌ی (۵)، معادله‌ی تعادل به صورت زیر بازنویسی می‌گردد:

$$EI(w_{,xxxx} - w_{0,xxxx}) + (1 - \mu \frac{\partial^2}{\partial x^2}) [k_w(w - w_0) + q + Nw_{,xx}] = 0 \quad (10)$$

با صفر قرار دادن μ در رابطه‌ی (۸)، رابطه‌ی کلاسیک تعادل تیرها با در نظر گرفتن نیروی محوری بدست می‌آید [30]. در رابطه‌ی (۸) نیروی محوری حاصل از تغییر فرم به صورت زیر محاسبه می‌شود:

$$N = \frac{EA}{2L} \int_0^L [(w_{0,x})^2 - (w_{,x})^2] dx \quad (11)$$

از کمیت‌های بی‌بعد زیر برای ساده‌سازی استفاده می‌شود:

$$\zeta = \frac{x}{L}, \eta = \frac{w}{2\rho}, \eta_0 = \frac{w_0}{2\rho}, \alpha = \mu \left(\frac{\pi}{L}\right)^2 \quad (12)$$

$$Q = \frac{qL^4}{2\pi^4 EI \rho}, N^* = \frac{NL^2}{\pi^2 EI}, K_w = \frac{k_w L^4}{\pi^4 EI}$$

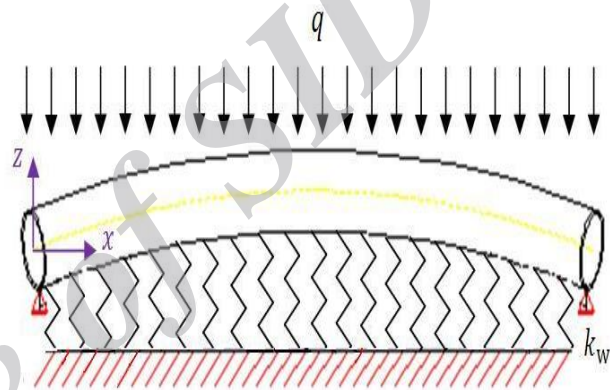
کرنش و تغییر انحنای صفحه میانی را با جابه‌جایی‌ها، می‌توان به صورت زیر بیان کرد:

$$\varepsilon_{xx} = \varepsilon^0 + z\kappa \quad (2)$$

در رابطه‌ی فوق، ε^0 و κ به ترتیب به کرنش کشسانی و کرنش خمشی اشاره دارند و با رابطه‌ی زیر به میدان جابجایی مرتبط می‌شوند

$$\varepsilon^0 = \frac{1}{2}[(w_{,x})^2 - (w_{0,x})^2], \kappa = -[w_{,xx} - w_{0,xx}] \quad (3)$$

w_0 و w به ترتیب به شکل اولیه و نهایی نانولوله اشاره دارند.



شکل (۱) نانولوله‌ی خمیده‌ی تعبیه شده بر روی بستر الاستیک

روابط تعادل با استفاده از اصل کمینه‌سازی انرژی پتانسیل کل به دست می‌آیند. انرژی پتانسیل کل (Π)، شامل مجموع انرژی ذخیره شده در سیستم و پتانسیل نیروهای خارجی است. انرژی ذخیره شده در سیستم متشکل از انرژی کرنش خمشی، انرژی کرنش کششی و انرژی ذخیره شده در فونداسیون می‌باشد. بنابراین، تغییر انرژی پتانسیل کل، با در نظر گرفتن رفتار الاستیک خطی، به صورت زیر نوشته می‌شود:

$$\delta\pi = \int_0^L (-N\delta\varepsilon + M\delta\kappa) dx + \int_0^L q\delta w dx \quad (4)$$

$$+ \int_0^L k_w(w - w_0)\delta w dx = 0$$

که در رابطه (۴) N نیروی محوری، M ممان خمشی، q بار گسترده جانبی بر واحد طول، k_w ضریب الاستیک وینکلر می‌باشند. با محاسبه‌ی $\delta\varepsilon^0$ و $\delta\kappa$ از رابطه (۳) و جایگذاری در رابطه (۴) و اعمال انتگرال گیری جزء به جزء

با استفاده از روش گالرکین (در نظر گرفتن تابع وزنی به صورت $\chi = \sin(m\pi\zeta)$ و جایگذاری رابطه‌ی (۱۶) در رابطه‌ی (۱۴) معادله‌ی غیرخطی زیر حاصل می‌گردد:

$$\sum_{n=1}^n n^4 d_n \delta_{mm} - h \delta_{m1} + (\sum_{n=1}^N n^2 d_n^2 - h^2) (\sum_{n=1}^N (n^2 + \alpha n^4) d_n \delta_{mm} + K_w (\sum_{n=1}^N (1 + \alpha n^2) d_n \delta_{mm} - (1 + \alpha) h \delta_{m1}) + 2q(1 - \cos m\pi) (\frac{1}{m\pi} + \frac{m\alpha}{\pi}) = 0 \quad (17)$$

$$K_w (\sum_{n=1}^N (1 + \alpha n^2) d_n \delta_{mm} - (1 + \alpha) h \delta_{m1}) + 2q(1 - \cos m\pi) (\frac{1}{m\pi} + \frac{m\alpha}{\pi}) = 0$$

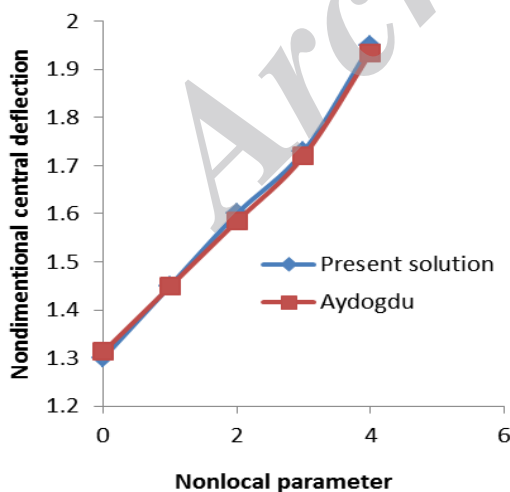
در رابطه (۱۷)، δ_{mm} به صورت زیر تعریف می‌شود:

$$\delta_{mm} = \begin{cases} 1 & \text{for } m = n \\ 0 & \text{for } m \neq n \end{cases} \quad (18)$$

رابطه‌ی (۱۷) در بردارنده‌ی مجموعه‌ی معادلات غیرخطی بوده که برای تعیین d_n ها، بازای ارتفاع اولیه‌ی مدنظر، به صورت همزمان حل می‌شوند. برای رسیدن به این هدف از روش عددی نیوتن رفسون استفاده شده است.

۴- نتایج و بحث

برای اعتبارسنجی، نتایج حاصل از تحلیل خیز نانولوله با صرف نظر از انحنای آن، با در نظر گرفتن نانولوله‌ای به طول ۱۰ نانومتر، با مقادیر بی‌بعد بدست آمده توسط آیدوگدو [۳۴] در شکل (۲) مقایسه شده‌اند.



شکل (۲) مقایسه نتایج حاصل از تحلیل خیز نانولوله بدون انحنای

که در آن ρ شعاع ژیراسیون^۱ سطح مقطع نانولوله خمیده می‌باشند. با استفاده از رابطه (۱۰) فرم بی‌بعد رابطه (۸) به صورت زیر بدست می‌آید:

$$\eta_{,\zeta\zeta\zeta\zeta} - \eta_{0,\zeta\zeta\zeta\zeta} + (1 - \frac{\alpha}{\pi^2} \frac{\partial^2}{\partial \zeta^2}) [\pi^2 N^* \eta_{,\zeta\zeta} + \pi^4 K_w (\eta - \eta_0) + \pi^4 Q] = 0 \quad (13)$$

۳- روش حل

فرم باقیمانده‌ی وزنی رابطه‌ی (۱۳) را می‌توان بصورت زیر نوشت:

$$\int_0^L (\eta_{,\zeta\zeta\zeta\zeta} - \eta_{0,\zeta\zeta\zeta\zeta} + (1 - \frac{\alpha}{\pi^2} \frac{\partial^2}{\partial \zeta^2}) \times [\pi^2 N^* \eta_{,\zeta\zeta} + \pi^4 K_w (\eta - \eta_0) + \pi^4 Q]) \chi dx = 0 \quad (14)$$

در اینجا، χ معرف تابع وزن است.

در نتایجی که اخیراً توسط محققان منتشر شده، انحنای نانولوله به‌عنوان فاکتور مهمی در تعیین مدول الاستیسته‌ی نانولوله‌های تقویت‌کننده‌ی کامپوزیت‌ها معرفی شده است. به‌عنوان مثال، فیشر^۲ و همکارانش [31] با استفاده از روش المان محدود نشان دادند که مدول الاستیسته‌ی پیش‌بینی شده برای نانو کامپوزیت‌ها، با در نظر گرفتن تأثیر انحنای نانولوله‌ها، انطباق بیشتری با نتایج تجربی در مقایسه با حالتی که از اثر انحنای چشم‌پوشی شود، دارد.

نظر به این که نتایج حاصل از شبیه‌سازی انحنای به صورت توابع سینوسی، با نتایج آزمایشگاهی همخوانی دارد [32] و [33]، در اینجا از تابع سینوسی برای تقریب شکل اولیه استفاده می‌شود:

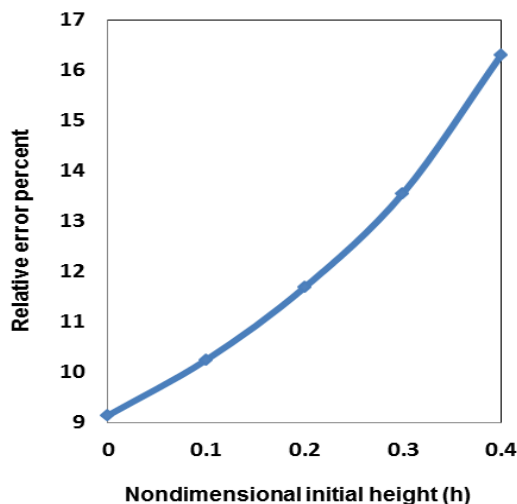
$$\eta_0 = h \sin \pi \zeta \quad (15)$$

شکل نهایی با بسط توابع سینوسی زیر تخمین زده می‌شود:

$$\eta(\zeta) = \sum_{n=1}^N d_n \sin n\pi\zeta \quad (16)$$

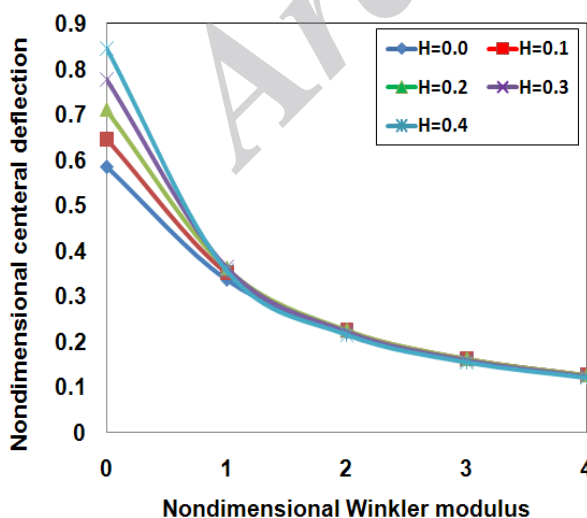
در رابطه (۱۵) h نشان‌دهنده ماکزیمم ارتفاع بی‌بعد می‌باشد.

شکل (۴) نشان می‌دهد که با افزایش انحنای اولیه، اختلاف مقادیر حاصل از تحلیل خیز با استفاده از تئوری غیرمحل و کلاسیک افزایش می‌یابد. بگونه‌ای که به ازای انحنای بی‌بعد ۰/۴ این اختلاف به ماکزیمم مقدار خود یعنی ۱۶/۳۰٪ می‌رسد.



شکل (۴) درصد خطای نسبی برحسب انحنای بی‌بعد اولیه ($L=10\text{nm}$)

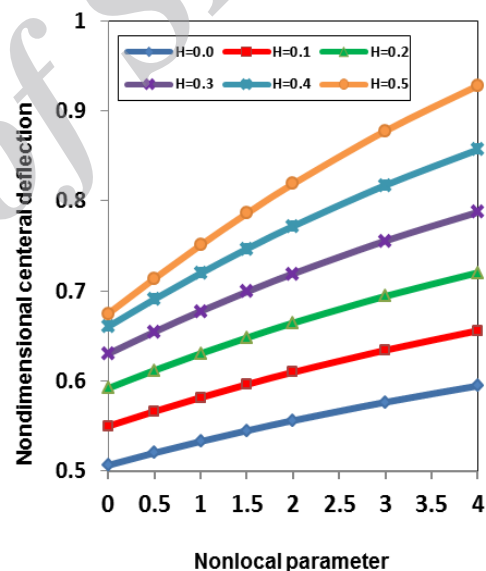
در شکل (۵) تغییرات خیز با مدول فونداسیون وینکلر به ازای $\mu = 4\text{nm}^2$ بررسی شده است. با افزایش سختی بستر الاستیک، خیز نانولوله کاهش می‌یابد. این روند کاهشی برای کلیه انحناهای اولیه مد نظر به وضوح در شکل دیده می‌شود. همانطور که در شکل مشهود است برای k_w های بزرگتر از ۱، افزایش انحنای اولیه بر روی خیز نانولوله بی‌تأثیر است.



شکل (۵) تأثیر سختی بستر الاستیک بر روی خیز مرکز برای مقادیر مختلف انحنای اولیه

همانطور که در شکل (۲) دیده می‌شود، نتایج حاصل از کار حاضر (رابطه‌ی (۱۲)) با مقادیر ارائه شده توسط آیدوگدو منطبق است. این در حالیست که فقط از یک ترم برای تخمین جابجایی استفاده شده است.

شکل (۳) نحوه‌ی تغییر مقدار خیز وسط نانولوله‌ی خمیده را با پارامتر غیرمحل نشان می‌دهد. شدت بار اعمالی بی‌بعد جانبی ۰/۵ در نظر گرفته شده است. با توجه به شکل مشاهده می‌شود که افزایش انحنای اولیه منجر به افزایش خیز می‌گردد. این روند افزایشی تحت تأثیر پارامتر غیرمحل قرار گرفته و با افزایش تأثیر مقیاس کوچک از سختی سازه کاسته شده و در نتیجه خیز نانولوله افزایش می‌یابد. این پدیده بدین معناست که با فرض تئوری ارینگن، نانوسازه‌ها انعطاف پذیرتر مدل می‌شوند.



شکل (۳) تغییرات خیز وسط نانولوله با پارامتر غیرمحل برای انحناهای اولیه متفاوت ($L=10\text{nm}$)

برای بررسی شدت تأثیر مقیاس کوچک بر روی خیز، درصد خطای نسبی برحسب پارامتر غیرمحل برای نانولوله‌ای با دهانه‌ی 10^1 نانومتر و $\mu = 2\text{nm}^2$ در شکل (۴) نمایش داده شده است. درصد خطای نسبی به صورت زیر تعریف می‌شود

$$\text{Error percent} = \left| \frac{\text{local result} - \text{nonlocal result}}{\text{local result}} \right| \times 100$$

مراجع

- [1] Iijima S., "Helical microtubules of graphitic carbon", *Nature*, 354, 1991, pp. 56-58.
- [2] Thostenson E.T., Ren, Z., Chou, T.W., "Advances in the science and technology of carbon nanotubes and their composites: a review", *Composites Science and Technology*, Vol. 61, 2001, pp. 1899-1912.
- [3] Zhou S.J., Li Z.Q., "Length scales in the static and dynamic torsion of a circular cylindrical micro-bar", *Shandong University Technology*, Vol. 31, 2001, pp. 401-407.
- [4] Fleck N.A., Hutchinson J.W., "Strain gradient plasticity: theory and experiment", *Acta Metal Material*, Vol. 42, 1994, pp. 475-487.
- [5] Yang A.C.M., Chong D.C.C., Lam P., "Couple stress based strain gradient theory for elasticity", *Solids Structure*, Vol. 39, 2002, pp. 2731-2743.
- [6] Eringen A.C., "On differential equations of nonlocal elasticity and solutions of screw dislocation and surface waves", *Journal of Applied Physics*, Vol. 54, 1983, pp. 4703-4710.
- [7] Lu P., Lee H.P., Lu C., Zhang P.Q., "Dynamic properties of flexural beams using a nonlocal elasticity model", *Journal of Applied Physics*, Vol. 99, 2006, No. 073510.
- [8] Peddiseon P., Buchanan J.R., McNitt R.P., "Application of nonlocal continuum models to nanotechnology", *International Journal of Engineering Science*, Vol. 41, 2003, pp. 305-312.
- [9] Lu P., Lee H.P., Lu C., Zhang P.Q., "Application of nonlocal beam models for carbon nanotubes", *International Journal of Solids Structure*, Vol. 44, 2007, pp. 5289-5300.
- [10] Reddy J.N., "Nonlocal theories for bending, buckling and vibration of beams", *International Journal of Engineering Science*, Vol. 45, 2007, pp. 288-307.
- [11] Aydogdu M., "A general nonlocal beam theory: its application to nanobeam bending, buckling and vibration", *Physica E*, Vol. 41, 2009, pp. 1651-1655.
- [12] Lee H.L., Chang W.J., "Surface and small scale effects on vibration analysis of a nonuniform nanocantilever beam", *Physica E*, Vol. 43, 2010, pp. 466-469.
- [13] Simsek M., "Forced vibration of an embedded single-walled carbon nanotube traversed by a moving load using nonlocal Timoshenko beam theory", *Steel & Composite Structures*, Vol. 11, 2011, pp. 59-76.

در جدول (۱) خیز نانولوله با در نظر گرفتن پارامترهای غیرمحلّی مختلف و بازای مقادیر متفاوت مدول فونداسیون محاسبه شده است. انحنای بی‌بعد اولیه‌ی نانولوله $0/2$ فرض شده است.

جدول (۱) تغییرات خیز نانولوله با مدول فونداسیون وینکلر برای مقادیر

مختلف پارامتر غیرمحلّی

$K_W=4$	$K_W=2$	$K_W=0$	μ
0/1245	0/21	0/5896	0
0/125	0/2126	0/6086	0/5
0/1251	0/2147	0/6263	1
0/1253	0/2169	0/6427	1/5
0/1257	0/219	0/6585	2

با توجه به نتایج می‌توان این گونه استنباط نمود که سختی بستر الاستیک نقش مهمی را در کاهش خیز نانولوله ایفا می‌نماید. از سوی دیگر افزایش پارامتر غیرمحلّی افزایش خیز را به دنبال خواهد داشت. البته با افزایش سختی فونداسیون تأثیر مقیاس کوچک کاهش می‌یابد.

۵- نتیجه‌گیری و جمع‌بندی

در این مقاله، خمش نانولوله‌های خمیده کم‌انحنا بر روی بستر الاستیک مورد بررسی قرار گرفته است. معادلات حاکم با استفاده از تئوری غیرمحلّی ارینگن استخراج و سپس به کمک روش گالرکین حل شده‌اند. نتایج نشان می‌دهند که با افزایش ضریب مقیاس (μ)، خیز نانولوله افزایش می‌یابد. این بدین معنا است که تئوری غیر محلّی، سختی سیستم را کاهش می‌دهد. از سوی دیگر با افزایش انحنای اولیه، خیز بیشینه افزایش می‌یابد. همچنین با افزایش سختی فونداسیون، خیز نانولوله کاهش می‌یابد. این روند کاهش تحت تأثیر پارامتر مقیاس قرار گرفته و با افزایش آن، خیز افزایش می‌یابد.

- [25] Ansari R., "Nonlocal finite element model for vibration of embedded multi layered graphene sheets", *Computational Materials Science*, Vol. 49, 2010, pp. 831-838.
- [26] Eringen A.C., "Nonlocal Continuum Field Theories", Springer, New York, 2002.
- [27] Zhang Y.Q., Liu G.R., Xie X.Y., "Free transverse vibrations of double walled carbon nanotubes using a theory of nonlocal elasticity", *Physics Review B*, Vol. 71(19), 2005, No. 195404.
- [28] Wang Q., "Small scale effect on elastic buckling of carbon nanotubes with nonlocal continuum model", *Journal of Applied Physics*, Vol. 98, 2005, No. 124301.
- [29] Phadikar J.K., Pradhan S.C., "Variational formulation and finite element analysis for nonlocal elastic nanobeams and nanoplates", *Computational materials science*, Vol. 49, 2010, pp. 492-499.
- [30] Fung Y.C., Kaplan A., "Buckling of low arches or curved beams of small curvature", NACA TN 2840, 1952.
- [31] Fisher F.T., Bradshaw R.D., Brinson, L.C., "Fiber waviness in nanotube-reinforced polymer composites-I: modulus prediction using effective nanotube properties", *Composite Science Technology*, Vol. 63, 2003, pp. 1689-2391.
- [32] Qian D., Dickey E.C., Andrews, R., Rantell, T., "Load transfer and deformation mechanisms in carbon nanotube-polystyrene composites", *Applied physics Letter*, Vol. 76(20), 2003, pp. 2868-2938.
- [33] Bradshaw R.D., Fisher F.T., Brinson L.C., "Fiber waviness in nanotube-reinforced polymer composites—II: modeling via numerical approximation of the dilute strain concentration tensor", *Composite Science Technology*, Vol. 63, 2003, pp. 1705-1727.
- [34] Aydogdu M., "A general nonlocal beam theory: its application to nanobeam bending", *buckling and vibration, Physica E*, Vol. 41, 2009, pp. 1651-1655.
- [14] Zhang Y.Q., Liu G.R., Han X., "Effect of Small Length Scale on Elastic Buckling of Multi-Walled Carbon Nanotubes Under Radial Pressure", *Physics Letters A*, Vol. 69, 2006, pp. 370-376.
- [15] Murmu T., Pradhan S.C., "Buckling analysis of a single-walled carbon nanotube embedded in an elastic medium based on nonlocal elasticity and Timoshenko beam theory and using DQM", *Physica E*, Vol. 41, 2009, pp. 1232-1239.
- [16] khademolhosseini F., "Application of Nonlocal continuum shell models for torsion of single-walled carbon nanotubes", *Department of Mechanical Engineering, Sharif University of Technology*, 2009.
- [17] Senthilkumar V., "Buckling analysis of a single-walled carbon nanotube with nonlocal continuum elasticity by using differential transform method", *Advanced science letter*, Vol. 3, 2010, pp. 337-340.
- [18] Wang Yi-Ze., Li F.M., Kishimoto K., "Scale effects on thermal buckling properties of carbon nanotube", *Physics Letters A*, Vol. 374, 2010, pp. 4890-4893.
- [19] Civalek O., Demir C., "Buckling and bending analysis of cantilever carbon nanotubes using the Euler-Bernoulli beam theory based on nonlocal continuum model", *Asian journal of Civil Engineering*, Vol. 12, 2011, pp. 651-661.
- [20] Wang C.M., Duan W.H., "Free vibration of nanorings/arches based on nonlocal elasticity", *Journal of Applied Physics*, Vol. 104, 2008, 014303.
- [21] Tepe A., "Nano-scale analysis of curved single walled carbon nanotubes for in-plane loading", *Journal of Computational and Theoretical Nanoscience*, Vol. 7, 2010, pp. 2405-2411.
- [22] Duan W.H., Wang C.M., "Exact solutions for axisymmetric bending of micro/nanoscale circular plates based on nonlocal plate theory", *Nanotechnology*, Vol. 18, 2007, No. 385704.
- [23] Aghababaei R., Reddy J.N., "Nonlocal third order shear deformation plate theory with application to bending and vibration of plates", *Journal of Sound and Vibration*, Vol. 326, 2009, pp. 227-289.
- [24] Babaei H., Shahidi A.R., "Small scale effects on the buckling of quadrilateral nanoplates based on nonlocal elasticity theory using the Galerkin method", *Archive Applied Mechanics*, Vol. 81, 2010, pp. 1051-1062.

SID



سرویس های ویژه



سرویس ترجمه تخصصی



کارگاه های آموزشی



بلاگ مرکز اطلاعات علمی



سامانه ویراستاری STES



فیلم های آموزشی

کارگاه های آموزشی مرکز اطلاعات علمی



مقاله نویسی علوم انسانی



اصول تنظیم قراردادها



آموزش مهارت های کاربردی در تدوین و چاپ مقاله